

< 번역論文 >

Alumina 被膜의 構造와 發色에 關한 研究 (Ⅲ)

高橋俊郎* 呂運寬**

7. 黃酸單独浴에 의한 電解發色法

7-1 序言

前章에서 砒酸-黃酸被膜의 電解條件과 發色の 關係를 研究한 結果, 電壓의 上昇에 따라 發色性이 向上되는 것이 밝혀졌다. 즉 有機酸 혹은 混酸에 의한 被膜에서는 發色에 效果를 미치는 電壓은 대략 40~70v의 範圍이다. 그러나 黃酸에 의한 경우에는 20v以上으로 電壓을 올리면 타는 현상이 發生하고 均一한 被膜生成은 期待할 수 없다. 그러므로 本章에 있어서는 黃酸만을 電解液으로하여 生成하는 被膜을 發色시키는 方法에 關하여 檢査하였다. 그 結果 被膜이 타는 현상을 일으키기 前에 電氣를 차단하면 될 것으로 생각하여 이 操作을 되풀이 하는 方法으로서 펄스(pulse) 波形을 使用한 電解法을 開發하였다.

7-2 實驗方法 및 試料調製法

7-2-1 試料調製法

알루미늄素材는 原則적으로 A1100P(100×50×1mm)材 一種類로 하였지만 發色機構를 조사할 때에는 99.99% Al板과 A6063S材를 追加하였다.

前處理는 脱脂(5wt% NaOH, 60°C, 60 sec) → 流水洗淨 → 中和(10 wt% HNO₃, 室溫, 20sec) → 流水洗淨 → 自然乾燥의 順으로 行하였다. 그리고 이것을 바로 陽極酸化處理를 行하였다.

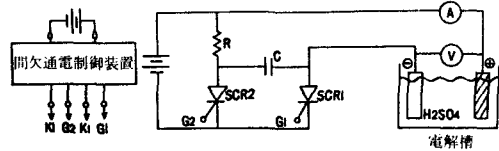


圖 7-1 SCR를 사용한 發色方式에 의한 펄스電解法

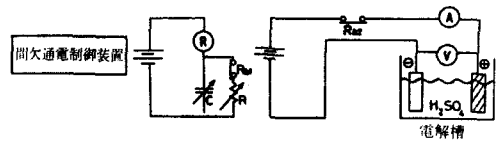


圖 7-2 리레를 사용한 發色方式에 의한 펄스電解法

펄스 波 形 (I)	檢査 條件
	$T: 5, 10, 20 \text{ ms}$
	$T': 0.5, 1, 2 \text{ sec}$
	$I: 11.2, 5.6 \text{ A/cm}^2$
	$I: 11.2 \text{ A/cm}^2$

圖 7-3 펄스 波 形과 그 檢査 條件

펄스 波 形 (II)	檢査 條件
	$T': 10-50 \text{ msec}$
	$T: 15-10 \text{ msec}$
	$I: 3-10 \text{ A/cm}^2$

圖 7-4 펄스 波 形과 그 檢査 條件

* 日本 輕金屬工業(株) 取締役 開發本部長

** 弘益工業專門大學 教授

表 7-1 秒單位로 펄스幅을 變化시켰을 때의 電解條件의 檢討

項	目	條	件
時	間 (min)	5, 10, 20, 30, 40, 50, 60	
溫	度 (°C)	5, 10, 15, 20, 30, 40	
陰	極 材 料	Al, C, Cu, Fe, Ni	
電	解 液 成 分	黃 酸	8, 15, 30
	(wt%)	溶存 알루미늄 濃度	0, 1, 2, 3
알	루 미늄 素 材	A 1100 P, A 6063 S, 99.99% Al	

表 7-2 마이크로秒單位로 펄스幅을 變化시켰을 때의 電解條件의 檢討

項	目	條	件
電	解 時 間 (min)	10, 30, 60	
浴	溫 度 (°C)	10, 15	
陰	極 材 料	Al	
黃	酸 被 膜 (wt%)	15	

溶存 알루미늄 濃度 (wt%) 0, 10, 20, 30

7-2-2 펄스發生裝置와 펄스波形的 檢討

펄스幅이 msec 單位의 펄스波형을 發生시키는 裝置는 圖 7-1 및 圖 7-2에 나타낸 것과 같이 SCR에 의한 方式과 릴레이에 의한 方式을 채택하여 被膜의 生成과 發色에 어느쪽이 有効하냐 하는것을 檢討하였다. 그리고 펄스幅이 秒單位의 實驗에서는 手動方式에 의하여 펄스波형을 發生시켰다. 이때의 電解條件은 標準電解條件으로서 黃酸 濃度는 15wt%로 하였다. 펄스波形과 發色の 關係에 관하여서는 圖 7-3 및 圖 7-4에 나타낸 것과 같은 條件으로 實驗을 行하고 각각 發色에 最適한 펄스幅과 周期 및 電流密度를 選擇하였다. 그리고 秒單位의 펄스波形은 베이스電流위에 펄스電流가 重疊된 波형을 使用하였다.

7-2-3 電解條件과 發色の 檢討

펄스幅이 秒單位의 펄스波形에서는 表 7-1에 나타낸 電解條件에서 最適 電解條件을 選擇하고 이어서 이것을 基本으로하여 msec 單位의 電解條件의 檢討를 表 7-2에 따라서 行하였다.

7-2-4 後 處 理

試料는 電解 終了後 流水洗淨한 후 沸騰水中에서 20分間 封孔處理 하였다. 단 發色原因을 檢討하기 위한 試料는 封孔處理를 行하지 않았다.

7-2-5 被膜의 性能試驗

펄스波形에 의한 黃酸被膜(以下 펄스黃酸被膜이라함)의 諸性能 試驗은 第6章과 마찬가지로 方法으로 行하였다.

7-2-6 表面 및 斷面構造의 觀察

펄스黃酸被膜의 表面 및 斷面 觀察은 走査型 電子顯微鏡을 使用하여 行하였다. 測定裝置 및 測定條件의 詳細는 6-2-4-2 및 6-2-4-3과 같다.

7-2-7 紫外可視吸收스펙틀의 測定

펄스黃酸 被膜이 特定 波長의 選擇吸收를 나타내느냐 아니냐를 測定하였다. 裝置는 島津製作所製, MPS-50 L 分光光度計를 使用하였다.

7-2-8 ESR 스펙틀의 測定

直流 黃酸被膜과 펄스黃酸 被膜에서는 被膜 生成時의 電氣의 衝擊의 度가 다르므로 被膜의 電子스핀 (spin)의 共鳴 吸收가 있느냐 없느냐 또 그 경우 兩者間의 差는 어느程度 있느냐에 관하여 檢討하였다. 被膜剝離는 逆電解法을 使用하고 剝離한 被膜을 粉末化하여 試料로 하였다. 裝置는 日本電子株式會社製・JES-ME-3X型을 使用하였다.

7-2-9 加熱에 의한 脫色과 被膜中の 諸 元素의 濃度分布

直流黃酸 被膜과 펄스黃酸 被膜을 逆電解法으로 剝離한 被膜을 600, 800 및 1050°C까지 서서히 加熱하고 그때의 脫色變化와 元素의 濃度分布 變化를 檢討하였다.

被膜의 加熱은 被膜을 알루미늄製 도가니에 넣어 酸化雰囲気下의 電氣爐中에서 昇溫速度 3.3°C / min으로 行하였다.

X線回折裝置와 測定條件은 第2章과 꼭 마찬가지로 方法으로 行하였다.

X線 마이크로아나라이저에 의한 線分析에서는 Al, S, O 및 Fe의 濃度分布變化를 조사하였다. 裝置 및 測定條件은 第4章과 마찬가지로 方法으로 行하였다.

7-2-10 被膜의 光學的 測定

펄스黃酸 被膜의 反射光強度, 透過光強度 및 色差를 測定하였다. 그리고 比較를 위하여 直流黃酸被膜, 蔞酸被膜 및 蔞酸-黃酸被膜에 대하여서도 測定하였다. 直流黃酸被膜과 蔞酸被膜은 標準電解法으로 蔞酸-黃酸被膜은 6章에서 確立한 電解法으로 被膜을 生成시켰다. 反射光強度의 測定

에는 알루미늄상에 被膜이 붙어있는 試料과 剝離被膜의 兩者를 試料로 하였다.

裝置는 Olympus 製 · PME 型 萬能顯微鏡 同社製 · EMM II 型 寫眞攝影用露出計 및 東洋理化學工業株式會社製 · CH-G 型 測色色差計를 사용하였다. 그리고 色差는 上記四種類의 被膜에 대하여 封孔前後의 二種을 대상으로 測定하였다.

7-3 實驗結果

7-3-1 펄스發生裝置와 펄스波形

手動式에 의한 펄스波形과 發色과의 關係는 表 7-3 에 나타낸 것 같은 結果로 되었다. 이表에

表 7-3 펄스幅과 發色狀態의 關係

T (sec)	T/τ (sec)	1 A/dm ²			2 A/dm ²		
		2 A/dm ²	5 A/dm ²	8 A/dm ²	2 A/dm ²	5 A/dm ²	8 A/dm ²
0.5	2	-	-	△	-	△	○
1.0	2	-	-	△	-	△	○
0.5	5	-	△	○	-	△	○
1.0	5	-	△	○	-	△	○
2.0	5	-	△	○	-	△	○
0.5	10	-	△	○	-	△	○
1.0	10	-	△	○	-	△	○
2.0	10	-	△	○	-	△	○
0.5	20	-	△	○	-	△	○
1.0	20	-	△	○	-	△	○
2.0	20	-	△	○	-	△	○

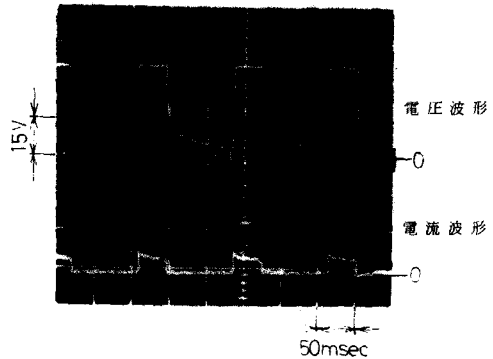
注) ○: 良好한 發色. ○: 不良한 發色.
△: 部分良好한 發色. -: 發色하지 않음.

서도 明白하듯이 秒單位의 펄스波形을 使用하면 發色被膜이 연어진다. 그리고 이때 良好한 發色을 나타낸 펄스波形은 周期가 5 秒, 펄스幅이 2 秒, 배이스電流가 2 A/dm² 및 펄스電流가 8 A/dm²의 條件下에서였다. 한편 SCR 方式과 릴레이 方式에 의한 m sec 單位의 펄스波形에 있어서는 寫眞 7-1, 寫眞 7-2 에 나타낸 것 같은 電壓波形 및 電流波形으로 되었다. 發色에의 效果는 펄스波形이 理想的인 矩形波에 가까울수록 發色性은 向上하였다. m sec 單位의 펄스波形에 의한 色差와 펄스주기 / 펄스幅의 關係를 圖 7-5 에 나타낸다. 圖 7-5 의 試料는 15 wt %, H₂SO₄, 液溫 15°C 溶存알루미늄 濃度 0 wt % 및 平均 電流密度 4 A/dm²의 電解條件에서 生成되었다. 이 結果로 하여서 펄스幅이 50 m sec 에서 T/τ 가 5 인 펄스波形이 가장 良好한 被膜을 生成할 수 있다는 것이 判明되었다.

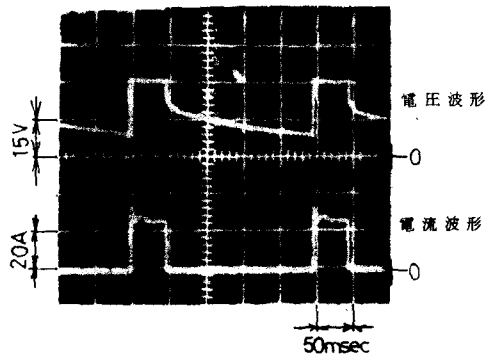
7-3-2 電解條件과 發色性的 상위점

펄스幅이 秒單位의 波形으로서는 7-3-1 에서 얻어진 가장 적當한 펄스波形을 使用하여 表 7-1 에 나타낸 電解條件으로 發色性을 檢討한 結果

(i) 電解時間이 20 分以上이 되면 發色하고 時



寫眞 7-1 SCR을 사용한 裝바方式에 의한 펄스波形



寫眞 7-2 릴레이를 사용한 裝바方式에 의한 펄스波形

間이 길어질수록 濃色化한다.

(ii) 浴溫度의 上昇과 함께 色이 若干 淡色化한다.

(iii) 黃酸濃度는 約 8 wt %가 下限值이고 이 值보다 濃度가 낮으면 孔蝕 및 타는현상을 發生한다.

(iv) 溶存알루미늄量이 增加했을 경우 圖 7-6 에 나타낸 것 같이 電壓이 上昇하는데도 불구하고 發色의 程度에는 거의 變化가 없다.

펄스幅이 50 m sec, 30 m sec, 15 m sec 로 T/τ 이 5 인 펄스波形에 의하여 表 7-2 의 電解條件下에서 被膜의 發色性을 檢討한 結果를 圖 7-7, 圖 7-8, 圖 7-9, 에 나타낸다. 이것으로부터 被膜의 發色성이 뛰어난 것으로는 펄스幅이 50 m sec

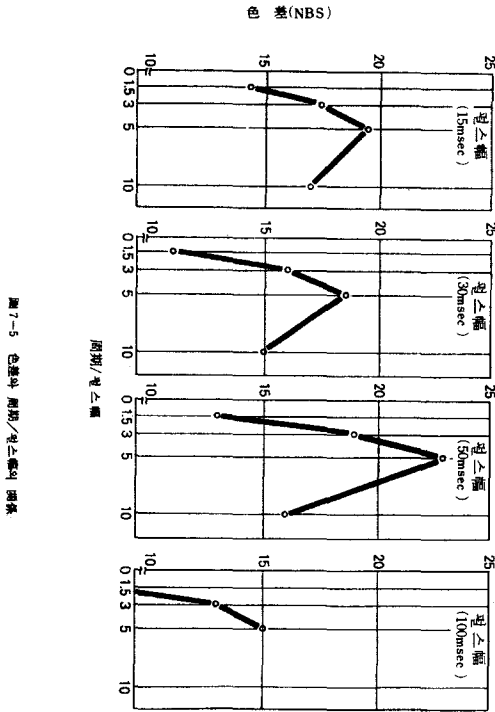


圖 7-5 各周波率 周期/펄스폭의 關係

平均電流密度 $8 A/dm^2$, 電解時間 60 分 및 溶存 알루미늄濃度 0wt % 的 條件이었다. 단 電流密度는 펄스幅이 50 m sec 인때 $8 A/dm^2$ 와의 差가 大히 小하였다.

以上の 結果로 하여 펄스波形에 의한 電解法의 最適의 電解條件을 綜合해보면 表 7-4와 같이 된다.

表 7-4 新電解法에 있어서의 펄스波形에서 檢討한 最適電解條件

項 目	條 件
黃酸濃度 (wt %)	15
溶存알루미늄濃度 (wt %)	0
浴溫度 (°C)	10
印加電壓 (V)	30
平均電流密度 (A/dm^2)	6
펄스幅 (m sec)	50
周期/펄스幅	5

表 7-4의 條件에서 電解時間을 30分, 60分, 및 120分까지 變化했을때의 被膜의 表面色調를 寫眞 7-3에 나타낸다.

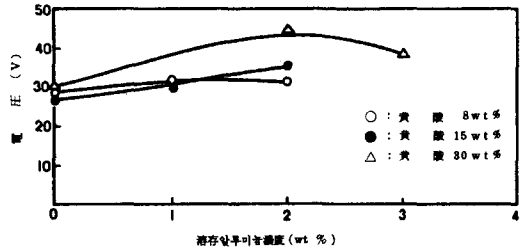


圖 7-6 溶存알루미늄과 電解電流의 關係

7-3-3 被膜의 性能試驗

各種의 促進耐候試驗을 行한 結果를 表 7-5에 나타낸다. 이 結果에서 直流黃酸 被膜보다도 펄스黃酸 被膜쪽이 諸性能에 있어서 뛰어나며 또한 染色이 잘되고 있으므로 工學的으로 大히 有利하다.

7-3-4 表面構造와 断面構造

펄스黃酸 被膜의 表面과 断面을 走査型電子顯微鏡으로 撮影한 結果를 寫眞 7-4, 寫眞 7-5에 나타낸다. 그리고 比較를 위해 硫酸-黃酸被膜의 그것을 寫眞 7-6, 寫眞 7-7에 나타낸다.

이들의 被膜 表面構造의 大差는 없고 모 두 微細孔의 分布는 確認되지 않았다. 그러나 被膜断面에서는 差를 볼 수 있었는데 被膜을 作할 때 應力에 따라 상이한 양상으로 作해지는것을 나타내었다. 한편 偏光顯微鏡으로 被膜의 微細構造를 觀察해본바 断面은 直流黃酸 被膜과 마찬가지로 複屈折性을 나타내지는 않았다. 단 表面으로 부터는 寫眞 7-8에 나타낸것 같이 어느被膜에서나 複屈折性을 볼 수 있었다.

7-3-5 紫外可視吸收스펙트의 測定結果

圖 7-10에 透過法에 의한 紫外可視吸收스펙트의 測定結果를 나타낸다. 圖에서 明白하듯이 電解波形, 電解條件 및 알루미늄素材에 거의 關係없이 280 mμ 附近의 紫外部에 브로드한 吸收를 볼 수 있었다. 단 A1100P材의 펄스黃酸被膜의 5°C에 있어서의 被膜에서는 紫外部에 현저한 吸收는 볼 수 없고 吸光度도 가장 낮았다.

7-3-6 ESR 스펙트의 測定結果

直流黃酸被膜과 펄스黃酸被膜의 X線照射前後의 ESR스펙트를 測定한 바 圖 7-11에 나타낸 것 같은 結果로 되었다. 또 그解析 結果를 表 7-6에 나타낸다. X線을 照射하지 않는 被膜은 모두 電解波形, 電解條件 및 알루미늄 材料의 差에 關係없이 弱한 共鳴吸收의 스펙트를 나타냈다. 그런

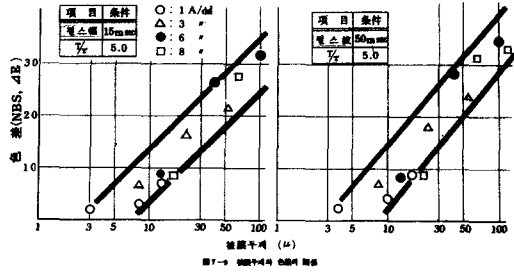
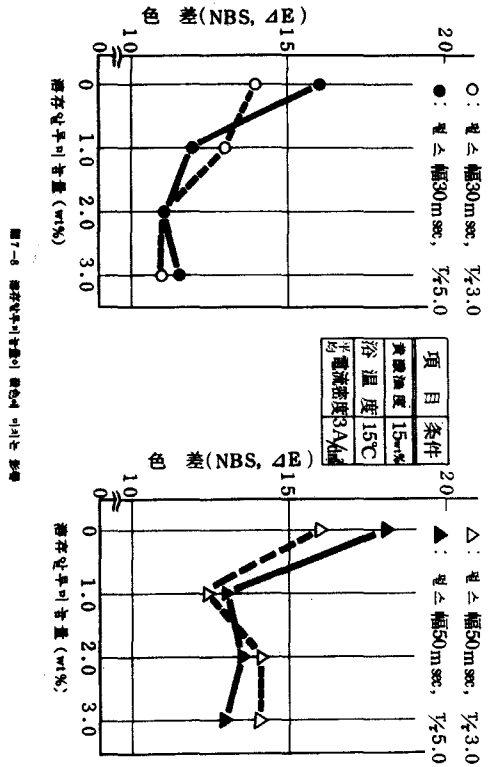
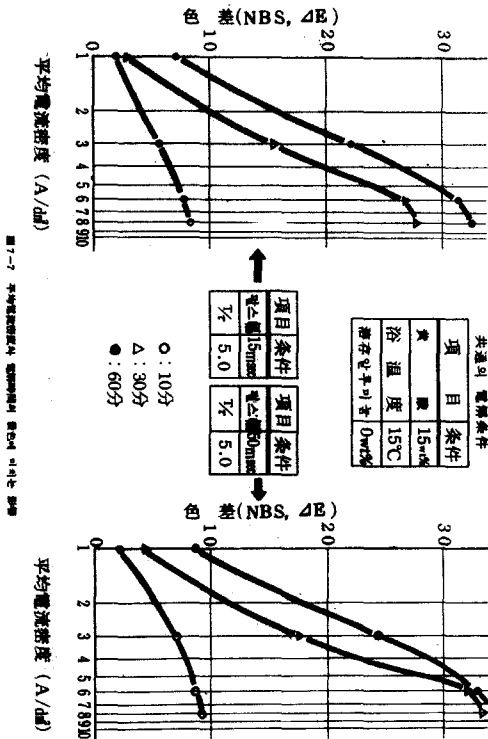


表 7-5 被膜의 耐性能試驗結果

試驗項目	試驗條件	結 果		
		黃酸被膜 (DC)	黃酸被膜 (電△)	漆酸-黃酸被膜
CASS 試驗	24時間連続噴霧後 16時間放置	R. N. = 9	R. N. = 9	R. N. = 10
알카리 滴下試驗	35°C 10% NaOH-溶液	5 sec/μ	7 sec/μ	10 sec/μ
砂落下耐磨耗試驗	카보인담 80#	60 sec/μ	90 sec/μ	180 sec/μ
熱冷사이클試驗	200°C, 1時間 0°C, 1時間 4사이클	-	※ΔE=1.1 NBS	※ΔE=1.08 NBS
dew 사이클 耐蝕試驗	200 사이클	-	※ΔE=0.7 NBS	※ΔE=0.68 NBS

注) ※試驗前後의 色의 變化를 色差로 나타내었다.

의 X線을 照射하면 弱한 共鳴吸收의에 더욱 強한 共鳴吸收을 나타내며 被膜의 電子構造가 變化한 것이 明白해졌다. 또 被膜의 表面色調은 모두 X線照射에 의하여 褐色系의 發色을 나타냈다.

7-3-7 加熱에 의한 脫色變化와

隨元素의 濃度變化

直流波形으로 低溫 電解한 暗灰色의 黃酸被膜과 펄스波形에 의한 暗灰褐色과 暗灰色의 黃酸被膜에 관하여 加熱에 의한 表面色調 變化를 조사한 結果를 表 7-7 에 나타낸다.

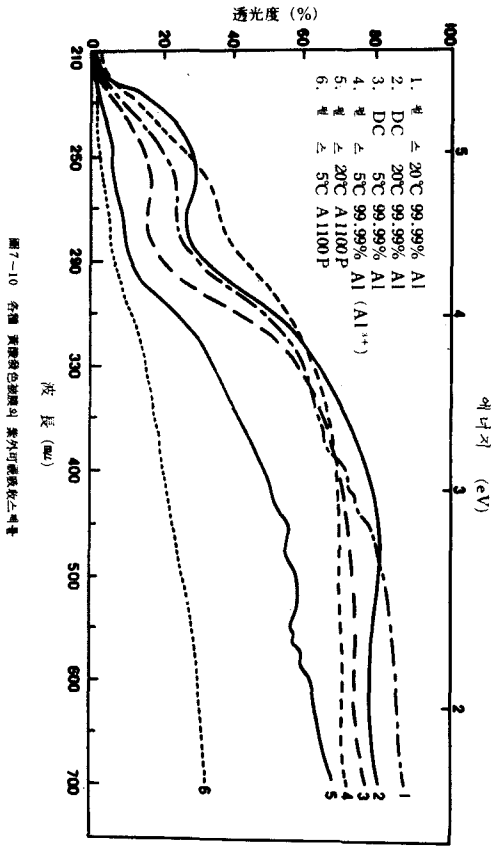


圖7-10 各種黃綠藍色被膜의 紫外可視波長-透過率

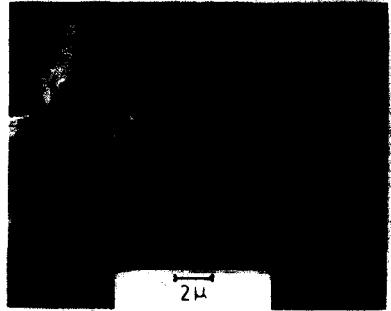


圖7-4 電 스코에 의한 黃綠藍色被膜의 表面構造

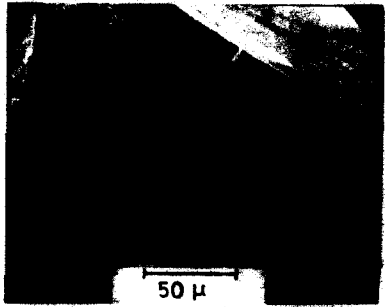


圖7-5 電 스코에 의한 黃綠藍色被膜의 断面構造

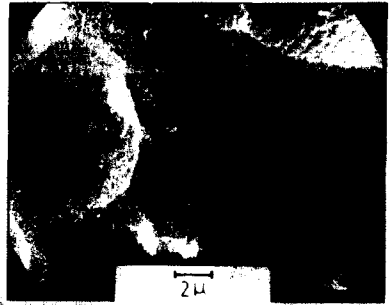


圖7-6 蒸餾-黃綠被膜의 表面構造

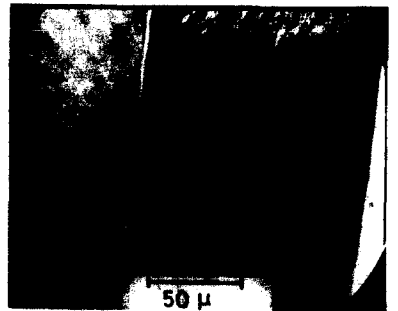


圖7-7 蒸餾-黃綠被膜의 断面構造

99.99% Al			
A1100P			
A6063S			
電 材料	80 (min)	60	120
色 99.99% Al	9.0 G 8.9 / 2.0	8.54 G 8.0 / 2.6	6.5 G 2.4 / 2.8
A1100P	5.5 G Y 6.4 / 1.0	2.5 G Y 5.2 / 1.4	2.5 G 8.0 / 2.0
黃 A6063S	7.5 Y 7.0 / 1.8	5.0 G Y 5.2 / 1.2	1.5 G 8.8 / 1.8

圖7-3 電 스코에 의한 黃綠被膜의 表面色調

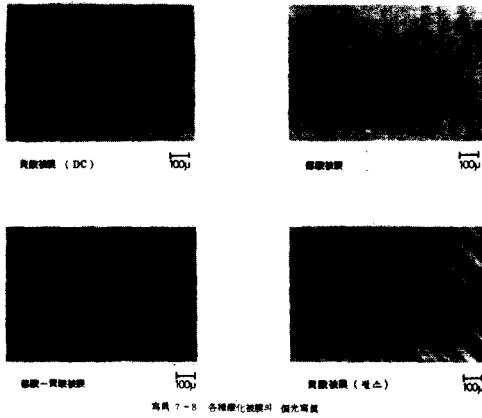


표 7-8 各種酸化被膜의 微光寫眞

표 7-6 ESR 스펙트럼의 分析結果

試料	電解條件	양극의 組成材	共鳴強度 (I)		共鳴裂數 (J)
			G ₁	dH ₁	
1	DC, 20°C	99.99% Al	2.0033	11 G	-
2	DC, 20°C	A 1100 P	2.0033	10 G	-
3	DC, 5°C (X線照射後)	A 1100 P	2.0032	7 G	※ 47 G
4	펄스(I), 5°C	A 1100 P	2.0032	8.5 G	-
5	펄스(II), 5°C (X線照射後)	A 1100 P	2.0026	7.5 G	※ 46 G
6	펄스(II), 5°C	99.99% Al	2.0032	10 G	-
7	펄스(II), 5°C (X線照射後)	99.99% Al	2.0032	7 G	※ 44 G

(注) ※ 裂數 係數

표 7-7 加熱前後에 있어서의 色調과 實驗數値

酸化被膜	電解條件	色調	加熱前後의 色調變化			實 驗 數 値		
			加 熱 前	600°C	1050°C	加 熱 前	600°C	1050°C
黃酸被膜	DC	5°C, 36 μA/dm ²	暗灰色	灰色	白灰色	172 opa	165 opa	31 opa
		5°C, 36 μA/dm ²	暗灰色	灰色	白灰色	193 opa	188 opa	167 opa
		5°C, 76 μA/dm ²	暗灰色	灰色	白灰色	191 opa	189 opa	33 opa

(注) EPM A測定條件: 印加電壓 20KV, 電子電流 0.01 μA, 光束速度 8 μ 12cm/min

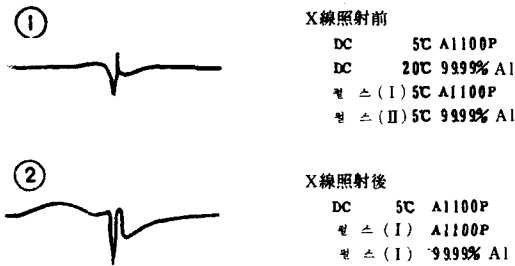


圖 7-11 各種黃酸被膜의 ESR 스펙트럼

600°C 加熱後는 모든 被膜은 脫色하고 미미한 透明灰色빛을 띠고 있었다. 1050°C로 加熱하면 被膜은 모두 失透化하고 거의 白色에 가까워졌다.

한편 被膜斷面에 있어서의 Al, O, S 및 Fe의 濃度變化를 測定한바 Al, O 및 Fe는 加熱前後에 현저한 變化는 볼 수 없었다. 그러나 S의 濃度에는 1050°C 前後에서 濃度低下를 볼 수 있었다. 단 펄스波形으로 알루미늄을 溶存하고 있지 않은 浴으로 處理한 被膜에는 현저한 濃度低下는 볼 수 없었다.

無色透明한 直流 黃酸被膜과 펄스黃酸被膜을 600°C, 800°C 및 1050°C로 加熱하여 X線回折으로 測定한바 600°C에서는 모두 非晶質이고 差는 발견할 수 없었다. 마찬가지로 800°C에서도 현저한 差는 볼 수 없었다. 그런데 1050°C에서는 圖 7-12에 나타낸 것 같이 雙方의 被膜으로부터 γ-Al₂O₃ 과 α-Al₂O₃ 의 피크를 보게 됨으로써 펄스波形으로 處理한 被膜쪽이 結晶化는 현저하고 雙方간의 加熱前의 構造에 差가 있음이 確認되었다.

7-3-8 被膜의 光學的 性質

無色透明의 直流 黃酸被膜을 規準으로 하여 펄스 黃酸被膜, 蓚酸被膜 및 蓚酸-黃酸被膜의 反射光 強度와 透過光 強度를 測定한 結果를 圖 7-13, 圖 7-14, 圖 7-15에 나타낸다.

目視로 짙은 被膜은 모두 反射光 및 透過光 強度도 낮은 值였다.

色差의 測定에서는 表 7-8의 電解條件으로 作成한 펄스 黃酸被膜과 蓚酸被膜 및 蓚酸-黃酸被膜의 封孔前後에 있어서의 結果는 圖 7-16과 같았다. 즉 펄스波形에서 發色한 黃酸被膜은 封孔前後의 色差의 차이는 별로 없었다. 이것으로 보아 펄스 黃酸被膜은 극히 安定된 被膜이라고 推定되었다. 이에 比하여 蓚酸被膜은 褪色化하여 蓚酸-黃酸被膜에서는 濃色化 하였다.

7-4 考 察

被膜이 發色에 影響을 주는 펄스波形은 秒單位거나 m sec 單位거나 어떠한 一定值 以上の 電壓을 印加하면 被膜은 發色하고 펄스幅과 周期의 關係는 必然的으로 定해지는듯 하였다.

秒單位의 펄스波形에서는 電壓이 25 V를 넘으면 電流가 지나치게 흐를 傾向이 있고 m sec 單位의 波形에서는 30 V까지 올릴 수가 있었다. 이

차는 펄스幅의 차에 關係가 있는 듯이 생각 되었다. 被膜의 發色性和 表面狀態는 周期(T)와 펄스幅(τ)의 比(T/τ)가 크게 影響을 주며 이 大小에 따라 褐色味가 우선하거나 灰色味가 우선하거나 하는데 이 詳細한 原因은 밝힐 수가 없었다. 또 m sec 單位의 波形에서는 T/τ의 值가 커지면 被膜中에 금이가서 터지게 되는 傾向이 있었다.

이의 原因은 平均電流密度를 一定하게하여 實驗을 행하였으므로 一定時間內에 있어서의 電氣的 衝擊의 數가 많을때에는 印加電壓이 낮고 금이가서 터지는 일이 없으나 衝擊數가 적어지면 加電

壓이 높아져서 被膜이 그 衝擊을 견딜 수가 없게 되어 금이가서 터지는 것으로 推定되었다.

한편 電解條件의 影響은 既存의 被膜만큼 현저하지는 않았다. 그것은 電解時의 電流密度와 電壓이 높으므로 他의 因子에 의한 影響을 덜 받는 것으로 생각된다. 또 藤酸-黃酸被膜의 경우에는 溶存알루미늄을 함유하는 편이 發色性은 좋았지만 펄스 黃酸被膜에서는 逆으로 溶存알루미늄을 함유하지 않는 편이 發色性이 좋았다. 그 原因은 펄스 黃酸被膜에서는 發色에 必要한 一定值 以上の 電壓이 印加되어 있으면 電流量이 우선적으로 發色性을 左右하는 것으로 생각되었다. 알루미늄材料別로 보면 發色性은 A 6063, A 1100, 99.99% Al의 順으로 나빠지는 것으로 보아 合金成分과 不純物도 影響을 미치고 있는 듯 하였다. 99.99% Al에서는 120分 電解하면 透明한 褐色被膜으로 되므로 이 색이 펄스波形에 의한 効

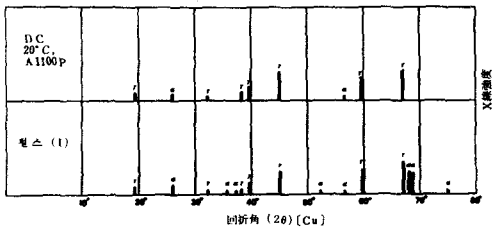


圖 7-12 1050°C 加熱後의 各種黃酸被膜의 構造變化

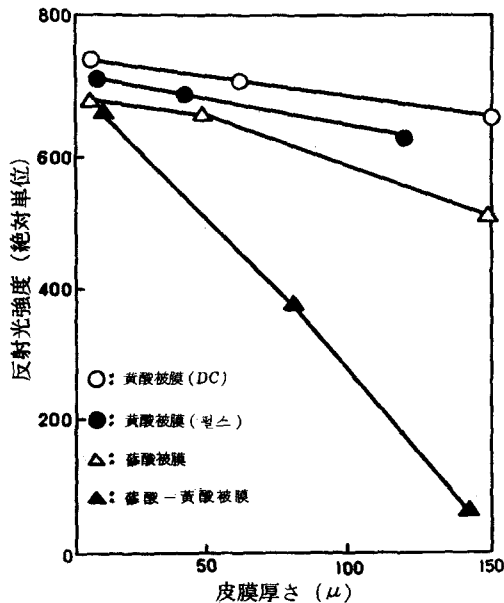


圖 7-13 酸化被膜의 反射光強度

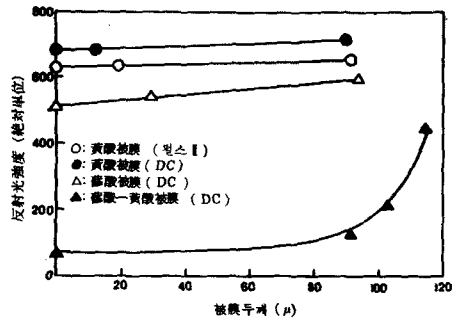


圖 7-14 剝離한 酸化被膜의 反射光強度

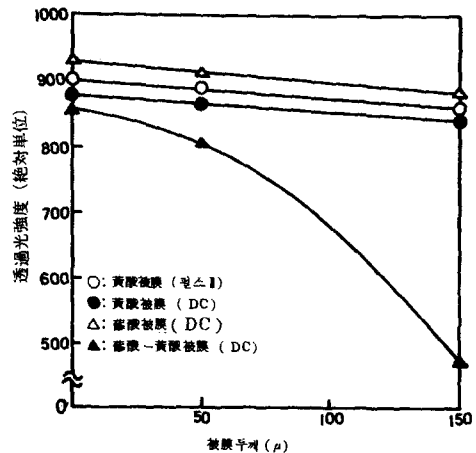


圖 7-15 酸化被膜의 透過光強度

表 7-8 各種 酸化被膜의 電解條件과 色調

電解質	濃度 (wt %)	電解波형	電流密度 (A/dm ²)	浴溫度 (°C)	두께 (μ)	알루미늄 含量	表面色調
黃酸	15	※ 펄스	1~8	10	30~100	99.99% Al	透明褐色
蔞酸	3	DC	1~3	25	20~150	99.99% Al	透明褐色
蔞酸 + 黃酸	3 / 0.15	DC	1~2	10	20~450	99.99% Al	透明褐色

注) ※ 펄스波형: 펄스幅 50 m sec, T/τ=5

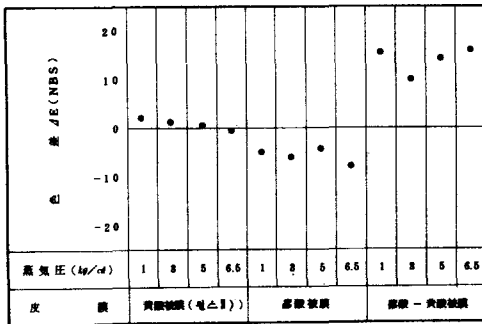


圖 7-16 各種 發色被膜의 封孔處理에 있어서의 色調

果라 推定되었다. 또 合金元素를 많이 含有할수록 色은 黑色을 增大하고 明度를 低下시키는 傾向을 볼 수 있었다.

被膜의 諸性能은 直流波형에 의한 黃酸被膜보다 모두 良好하였지만 이것은 浴溫이 낮기 때문에 被膜이 硬化化하기 때문이라 생각된다.

表面微細孔은 볼 수 없었지만 이것은 단지 表面의 凹凸이 棘疇한데 起因하고 있는 것으로 생각된다. 또 目視로는 거의 無色의 被膜일지라도 可視吸收스펙틀이 280 mμ 附近에 피크를 갖는 브로드한 吸收를 볼 수 있었다. 吸光度는 同一條件下라면 電解液溫度가 낮은 쪽이 低下했다. 또 吸光度를 左右하는 因子는 電解條件보다도 알루미늄材料에 있으며 99.99% Al 보다도 Al100P 材를 處理한 被膜쪽이 吸光度는 낮았다. 따라서 吸光度는 주로 被膜中에 含有되는 不純物에 따라서 變하는 것으로 생각된다.

ESR 스펙틀에서는 알루미늄材料, 溶存알루미늄濃度 및 기타의 電解條件의 差는 볼 수 없었고 微量의 不對電子의 存在를 나타내고 있고 스펙틀이 對稱인 형을 이루고 있는 것으로 볼때 이것은 自由電子라고 推定되었다. 또 이들 被膜에 X線을

照射하면 그 電子構造에 變化가 일어나는 것으로 생각된다.

加熱에 의한 被膜中의 S의 濃度變化는 800°C까지는 그리 變化하지 않으나 1050°C가 되면 濃度가 低下하였다. 이것은 被膜中의 SO₂ 이온의 分解에 의한 것이라 생각된다. 그러나 被膜의 色과 被膜中의 S의 關係는 明白치 않고 被膜이 1050°C에서 失透化하여 거의 完全하게 白色化하고 있는데도 불구하고 被膜中의 유황이 檢出된다. 따라서 被膜中의 유황은 熱에 의한 分解를 잘 일으키지 않는 形의 化合物로서 存在하고 있다고 推定되었지만 어떠한 化合物이나 하는 것은 明確하지 않다. 단 펄스波형에 의한 5°C, 2A/dm²의 被膜은 1050°C라도 S의 濃度變化는 볼 수 없었다. 이것으로 보아 被膜中의 유황의 分解는 被膜構造의 差에 의한다고 推察되었다. 또 直流 黃酸被膜보다도 펄스 黃酸被膜쪽이 γ로부터 α에로의 轉移溫度가 낮다고 하는 점으로부터 고찰해볼때 結晶化의 難易度와 發色間에는 關連이 있다는 것을 알 수 있었다.

펄스 黃酸被膜에서는 封孔前後에 있어서의 色의 差는 거의 볼 수 없었으므로 이 發色은 被膜自體의 色이라 생각된다. 단 封孔處理의 壓力을 增大시키면 미소하나마 色差가 떨어져는 傾向을 나타내고 있는데 이 근소한 差가 色에 미치는 效果일 것이라고 推定할 수 있다.

以上과 같이 從來 發色被膜을 얻을 수 없었던 黃酸電解液을 使用하여도 펄스波형을 使用함으로써 發色被膜을 얻을 수 있었다. 그리고 이 發色被膜은 諸性能이 뛰어나고, 色調가 微細構造의 變化에 따라서 變하지 않기 때문에 극히 實用的이고 工學的 價値도 높다고 할 수 있다.

8. 總括 및 結論

本 論文에 있어서는 알루미늄 陽極酸化 被膜의 構造와 그 發色機構를 밝힘과 同時에 그 研究結果를 應用하여 새로이 電解發色法의 開發을 研究目的으로 하였다. 被膜構造 및 被膜의 發色機構를 解明하기 위해 수많은 機器分析, 즉 X線 마이크로아나라이저에 의한 被膜斷面의 線分析으로부터 被膜中의 諸元素의 濃度分布를 測定, Al K α線 스펙틀의 케미칼싯트로부터 Al의 配位數의 推定, X線回折法에 의한 被膜構造의 同定 및 熱轉移의 測定, X線散亂強度 및 X線動徑分布 解

析法에 의한 構造解析, 螢光X線 分析法에 의한 被膜內 元素의 定性分析, X線單結晶 카메라에 의한 振動寫眞撮影으로 부터의 構造解析, 赤外線 吸收스펙트럼에 의한 被膜內 原子團의 定性分析, 分光光度計에 의한 紫外可視吸收스펙트럼 分析으로부터 被膜의 特定波長의 選擇吸收의 有無와 吸光度의 測定, 常磁性共鳴에 의한 被膜의 電子狀態 解析, 電子顯微鏡 및 走査型 電子顯微鏡에 의한 被膜表面과 被膜斷面의 微細構造의 觀察, 電子線 回折法에 의한 被膜構造의 解析, 偏光顯微鏡에 의한 被膜의 複屈折性的 判定, 色差計에 의한 被膜의 色調測定, 顯微鏡과 露出計에 의한 反射光 強度, 透過光強度의 測定, X線照射에 의한 被膜 色調의 變化 및 加熱處理에 의한 脫色過程의 測定 등을 行하였다.

以上的 各種 分析 및 解析으로부터 알루미늄 陽極酸化被膜의 構造에 關하여 다음과 같은 事實이 밝혀졌다.

(1) 陽極酸化被膜이 表面微細構造는 大別하여 二개로 分類된다. 第一은 黃酸被膜, 磷酸被膜, 크롬酸被膜, 설파살칠酸被膜 등의 表面의 거칠음이 적고 表面微細孔이 어느정도 均一하게 分布돼 있는 被膜, 第二은 어떠한被膜이나 알카리被膜 따위와 같이 表面이 아주 거칠어져 있는 被膜의 二개이다. 그리고 第一에 속하는 것이라도 無機酸系 被膜쪽이 有機酸系 被膜보다도 微細孔의 分布狀態는 均一하였다. 이들 表面微細構造의 相違는 주로 電解液組成, 電解液溫度, 電解, 電壓 등의 電解條件의 相違에 起因하는 것으로 高찰 되었다.

(2) 그러나 被膜의 斷面微細構造에는 被膜 生成法에 의한 差는 그리 볼 수는 없었다.

(3) 被膜을 構成하는 元素는 주로 알루미늄과 酸素로서 이 兩者로 被膜構成元素의 거의 99.5 wt % 以上을 點하며 기타의 微量元素로서는 鐵, 硫黃, 珪素, 銅, 亞鉛, 망간, 티탄, 磷, 크롬등이 있지만 그중에서도 鐵, 硫黃, 珪素의 含有量이 많았다.

(4) 또 이들 元素의 被膜中에 있어서의 濃度 分布에 대하여 살펴보면 알루미늄, 酸素 및 硫黃은 均一한 分布를 나타내고 鐵, 珪素등은 均一하게 分布하는 傾向이 있다.

(5) 그리고 이들 被膜中의 元素에는 大別하여 二개의 그룹이 있다. 그 하나는 硫黃, 磷 및 티

탄등과 같이 電解液으로부터 被膜에 侵入한 것, 다른 하나는 鐵, 珪素등과 같은 알루미늄素材의 合金成分元素가 被膜中에 擴散된 것이다.

(6) 이들 被膜中의 諸元素가 어떠한 形態로 存在하고 있는 지는 明確하게 할 수는 없었지만 赤外線吸收스펙트럼 分析에 의하여 다음과 같은 吸收를 볼 수 있었다. 즉 $AlO \rightleftharpoons H$ 의 伸縮振動, $Al \rightleftharpoons O$ 의 伸縮振動, $Al \rightleftharpoons OH$ 의 變角振動, $Al \rightleftharpoons OAl$ 의 伸縮振動 및 $-COO^-$ 와 $>SO_2^-$ 에 의한 吸收를 볼 수 있었다.

(7) 또 被膜中의 Al은 Al K α 線의 케미칼신티와 X線動徑分布解析에 의해 4配位와 6配位の 中間的 構造를 취하는 것으로 推定되었지만

(8) X線의으로는 非晶質이었다.

(9) 그러나 電子線回折像으로부터는 ASTM카드 所載의 $r-Al_2O_3$ 와 일치하는 格子定數가 一部の 被膜에서 얻어졌는데 電子線照射에 의한 構造變化가 일어날 可能性을 考慮한다면 被膜構造가 $r-Al_2O_3$ 이라고 斷定할 수는 없다.

(10) 또 X線單結晶 카메라에 의하셔도 一部の 被膜으로부터는 $r-Al_2O_3$ 가 含有될 可能性만이 推定되었다.

(11) (8)에서 기술한 바와 같이 X線의으로는 非晶質이었지만 그 X線回折圖形은 被膜에 따라 다르다는 점으로써 같은 非晶質이라도 그 構造에 若干의 差가 있는 것으로 생각되며

(12) 被膜을 加熱해 나가면 800°C 附近에서 부터 $r-Al_2O_3$ 이 晶出되고 1050°C 에서는 Al_2O_3 으로 轉移하고 있고, 그 轉移溫度는 被膜에 따라 若干 다르다.

(13) 이 사실로 보아 被膜은 非晶質이지만 $r-Al_2O_3$ 으로 轉移하기 쉬운 構造라고 생각되었다.

(14) 또 被膜의 ESR 스펙트럼에 의하여 극히 미소하나마 不對電子의 存在가 밝혀졌는데 스펙트럼의 對稱性으로 高찰해 보면 이것들은 被膜內의 自由電子라 생각된다.

(15) 被膜을 X線照射해보면 褪色하는 점으로 보아 被膜의 電子狀態가 變化함이 明白해졌다.

알루미늄 陽極酸化 被膜의 發色機構에 關하여는 다음과 같은 점이 밝혀졌다.

(1) 無機酸에 의한 發色被膜의 色調, 즉 黃酸被膜, 크롬酸被膜, 알카리被膜 등의 色調는 주로

無色透明내지 白色系를 中心으로 한 色이다.

(2) 有機酸에 의한 發色被膜의 色調, 즉 蔞酸被膜, 실과살칠酸被膜, P-메닐실론酸被膜 등의 色調는 一般으로 黃褐色系이다.

(3) 또 可視吸收스펙트럼에 의하면 可視領域에 特定波長의 吸收는 볼 수 없고 브로우드한 吸收를 나타냈는데 被膜의 種類에 따라서 吸收帶域에 差가 있었다.

(4) 被膜의 表面色調는 被膜中에 含有되는 라더칼, 혹은 元素에 따라 二개로 분류된다. 그 하나는 被膜中에 $-COO^-$ 나 SO_4^{2-} 등의 陰이온을 주로 含有하면 透明하고 黃色내지는 褐色系의 鮮명한 發色을 나타낸다. 다른 하나는 被膜中에 金屬元素를 주로 含有하며 不透明하고 乳白色系의 發色을 나타낸다.

(5) 그러나 SO_4^{2-} 를 含有하는 것이라도 無色透明에서 暗褐色透明한것 까지 있어 SO_4^{2-} 가 發色因子라고는 생각되지 않는다.

(6) 또 發色被膜을 加熱하면 400°C附近으로부터 褪色이 시작되어 900°C에서는 完全히 脫色한다. 나아가서 1050°C에서는 失透化하여 白磁狀으로 된다. 이에 수반하여 유황농도도 減少하지만 硫黃濃度의 減少가 극히 미소한 것도 있고 脫色과 硫黃濃度와의 關係, 즉 硫黃이 發色因子로 되어있느냐 아니냐 하는 것은 明白하지 않다.

(7) 또 加熱에 의한 相轉移는 無色透明被膜보다도 發色被膜쪽이 顯著하였다.

(8) X線照射에 의해서도 褪色하며 이 前後에서 ESR스펙트럼이 變化하는 것으로 보아 被膜의 電子構造의 극소한 相違가 發色因子라 고찰되지만 이 相違는 극히 작은 자릿수로 사료되며 被膜中의 알루미늄, 酸素以外的 不純物 元素의 影響에 起因하는 것으로 생각된다.

(9) 被膜의 偏光顯微鏡에 의한 斷面色調와 EPMA에 의한 硫黃의 分布狀態가 잘 一致돼 있어

被膜의 發色の 度는 微細構造, 陰이온 및 有機物 등이 關與하고 있는 것으로 推定되었는데 封孔處理하여도 色調變化가 없는것도 있는것으로 보아 微細構造의 影響도 그리 고려되지는 않는다. 따라서 發色은 電解法 특히 電壓依存性이 극히 크다는 것이 明白해졌다.

(10) 즉 電解液은 發色被膜을 얻기 위한 媒体라 생각되며 電壓變化가 알루미늄素材와 酸化被膜과의 界面에서 酸化被膜의 空間電荷層을 變化시켜 이 相違가 發色에 影響하고 있는 것이 아니냐 하는 것이 생각된다.

以上の 研究結果로 보아 새로운 電解發色法을 開發하는 것을 目的으로 電解液組成, 電解方法 등을 檢討한 結果, 지금까지 開發되지 않았던 電解液으로서 m-크레졸실론酸浴 및 蔞酸-黃酸混浴의 開發, 電解法으로서 펄스波形을 사용하는 方法을 開發하였다. 특히 蔞酸-黃酸混浴에 의한 發色 被膜은 工業적으로 커다란 價値를 갖는 것이었다. 또 펄스波形을 사용하는 電解法은 전력 새로운 構想 밑에 開發된 方法으로서 高電壓을 印加할 수 없었던 電解液에 대해서도 非較的 높은 電壓을 印加할 수 있게 되고 生成되는 被膜性能도 뛰어난 것으로서 各種의 浴에 대하여 利用할 수 있는 利點을 가지며 工業적으로도 극히 뛰어난 電解法의 確立에 成功하였다.

以上 記述한 바와 같이 알루미늄 陽極酸化 被膜의 構造 및 그 發色機構에 관하여 若干이나마 明白히 한 것으로 생각되는데 그 어느 課題에 관해서도 確定的인 解析結果를 얻는에는 이르지 못하였다. 그러나 構造 및 發色에 관하여 얻어진 若干의 知見으로하여 새로운 陽極酸化 被膜의 開發 및 工業化를 實施하는 것이 可能해졌다. 따라서 陽極酸化 被膜의 構造와 發色機構가 보다 明確해지면 被膜의 發色の 制御는 無色透明被膜에 外部因子를 印加시킴으로써 行할 수 있을 것으로 생각된다.

끝으로 本研究을 實施하여 얻은 多數의 成果를 日本 및 諸外國에 對해서 特許出願을 하였다 參考資料로 아래에 기재한다

1. m-크레졸실론酸被膜關係

特許出願番號	發 色 的 名 稱
1 昭 43 - 50442	알루미늄素材의 着色陽極酸化處理의 電解法
2 昭 43 - 50443	알루미늄 및 알루미늄合金材上에 着色酸化被膜을 生成하는 方法
3 昭 43 - 75839	알루미늄素材上의 着色酸化被膜生成法
4 昭 43 - 25068	알루미늄 및 알루미늄合金의 着色陽極酸化處理用 電解浴

外國出願: 영국, 미국, 이탈리아, 볼란서 모두 登錄

2. 蓑酸 - 黃酸被膜關係

特許出願番號		發 明 的 名 稱
1	昭 46 - 83336	알루미늄 및 알루미늄 합금材의 着色酸化被膜生性法 ㉠
2	昭 46 - 83337	" ㉡
3	昭 46 - 83338	" ㉢
4	昭 46 - 95850	"
5	昭 47 - 46487	" ㉤
6	昭 47 - 52528	알루미늄 및 알루미늄합금材上에 高速으로 着色酸化被膜을 生成하는 방법
7	昭 47 - 66624	알루미늄 및 알루미늄합금材의 着色酸化被膜生成法
8	昭 48 - 109637	알루미늄 및 알루미늄합금材의 着色酸化被膜生成法
9	昭 49 - 57495	알루미늄 및 알루미늄합금材의 酸化被膜生成法
10	昭 49 - 72576	"

外國出願 ; 미국은 登錄

캐나다, 호주, 영국, 독일, 볼란서, 이탈리아, 台灣, 인도네시아는 出願中

3. 펄스波形에 의한 黃酸發色被膜關係

特許出願番號		發 明 的 名 稱
1	昭 48 - 37397	알루미늄 및 알루미늄합금材의 發色酸化被膜生成法 ㉠
2	昭 48 - 37398	" ㉡
3	昭 48 - 54107	"
4	昭 48 - 118694	알루미늄 및 알루미늄합금材의 着色酸化被膜生成法 ㉢
5	昭 48 - 118695	" ㉣
6	昭 48 - 118696	" ㉤
7	昭 48 - 118697	" ㉥
8	昭 48 - 118698	" ㉦
9	昭 48 - 118699	" ㉧
10	昭 48 - 118700	" ㉨
11	昭 48 - 118701	" ㉩
12	昭 48 - 118702	" ㉪
13	昭 48 - 118703	" ㉫
14	昭 48 - 118704	" ㉬
15	昭 48 - 121435	"
16	昭 48 - 130591	알루미늄 및 알루미늄합금材의 着色酸化알루미늄 被膜生成法
17	昭 48 - 139970	"
18	昭 49 - 16971	알루미늄 및 알루미늄합금材의 着色酸化被膜生成法 ㉭
19	昭 49 - 16972	" ㉮
20	昭 49 - 22070	"
21	昭 49 - 78899	알루미늄 및 알루미늄합금材의 電解處理法
22	昭 49 - 79539	알루미늄 및 알루미늄합금材의 着色酸化被膜生成法

外國出願 ; 出願中

영국, 독일, 캐나다, 호주, 볼란서, 미국, 스위스, 台灣, 韓國, 인도네시아